ALFONSO PARDO

JOSE I. CANUDO

Eustoquio Molina

Departamento de Geología (Paleontología). Universidad de Zaragoza. E-50009 Zaragoza

BIOESTRATIGRAFÍA CON FORAMINÍFEROS PLANCTÓNICOS DE LA PARTE INFERIOR DE LA FORMACIÓN IEPER (YPRESIENSE ESTRATOTÍPICO) EN EL SONDEO KNOKKE (BÉLGICA)

RESUMEN

Los foraminíferos planctónicos de la parte inferior de la Formación leper (Ypresiense) en el sondeo Knokke (11E/138) en Bélgica constituyen una asociación de alta latitudes y poca profundidad. Se han identificado los siguientes taxones: Subbotina hornibrooki, Subbotina triangularis, Subbotina eocaenica, Subbotina finlayi, Acaririna cf. pentacamerata, Muricoglobigerina aquiensis, Muricoglobigerina chascanona, Muricoglobigerina esnehensis, Muricoglobigerina soldadoensis y Paragloborotalia quadrilocula. Esta asociación permite datar la parte inferior del Ypresiense como perteneciente a la Biozona P 7 de Blow (1979), Biozonas de Morozovella edgari o Morozovella subbotine de Toumarkine y Luterbacher (1985) y Biozona P 6b de Berggren y Miller (1988). Además, existe un nivel con algunos foraminíferos planctónicos cerca de la base de la Formación leper, que junto a los datos aportados por otros microfósiles, permiten afirmar que la base del Ypresiense podría pertenecer a la Biozona P 6a de Berggren y Miller (1988), coincidiendo con el evento anóxico utilizado para marcar el límite Paleoceno/Eoceno.

Palabras clave: Foraminíferos planctónicos, Bioestratigrafía, Cronoestratigrafía, Ypresiense, Eoceno, Bélgica.

ABSTRACT

Planktic foraminifera from the lower part of the leper Formation (Ypresian) in the Knokke well (11E/138) in Belgium are scarce and typical from high latitudes and shallow environments. The following taxa have been identified: Subbotina hornibrooki, Subbotina triangularis, Subbotina eccaenica, Subbotina finlayi, Acarinina cf. pentacamerata, Muricoglobigerina aquiensis, Muricoglobigerina chascanona, Muricoglobigerina esnehensis, Muricoglobigerina soldadoensis y Paragloborotalia quadrilocula. This assemblage allows us to date the Lower Ypresian as P 7 Biozone of Blow (1979), Morozovella edgari or Morozovella subbotinae Biozones of Tourmarkine and Luterbacher (1985) and P 6b Biozone of Berggren and Miller (1988). Furthermore, a basal interval of the leper Formation also contains some planktic foraminifera and considering the data provided by other microfossils, the base of the Ypresian could belong to the P 6a Biozone of Berggren and Miller (1988) and coincide with the anoxic event that has been used as the Paleocene/Eocene boundary.

Key words: Planktic foraminifera, Biostratigraphy, Chronostratigraphy, Ypresian, Eocene, Belgium.

INTRODUCCION

El Ypresiense es el piso estándar del Eoceno Inferior aceptado por la Subcomisión Internacional de Estratigrafía del Paleógeno. La definición del Ypresiense (Dumont, 1849) no incluye un corte estratotípico concreto, sino que se considera a la Formación leper en Bélgica como en estratotipo de este piso. Uno de los problemas que se plantea para la delimitación del Ypresiense es la ausencia de microfósiles

calcáreos en su base. Asimismo, la escasez de foraminíferos planctónicos es grande a lo largo de toda la formación, siendo un gran obstáculo a la hora de acometer la correlación con las biozonaciones estándar definidas en latitudes más bajas. Algunos autores (Willems, 1980; Hooyberghs, 1983) han llevado a cabo estudios de foraminíferos planctónicos del Eoceno de Bélgica, pero sin llegar a establecer una datación precisa para la base del Ypresiense.

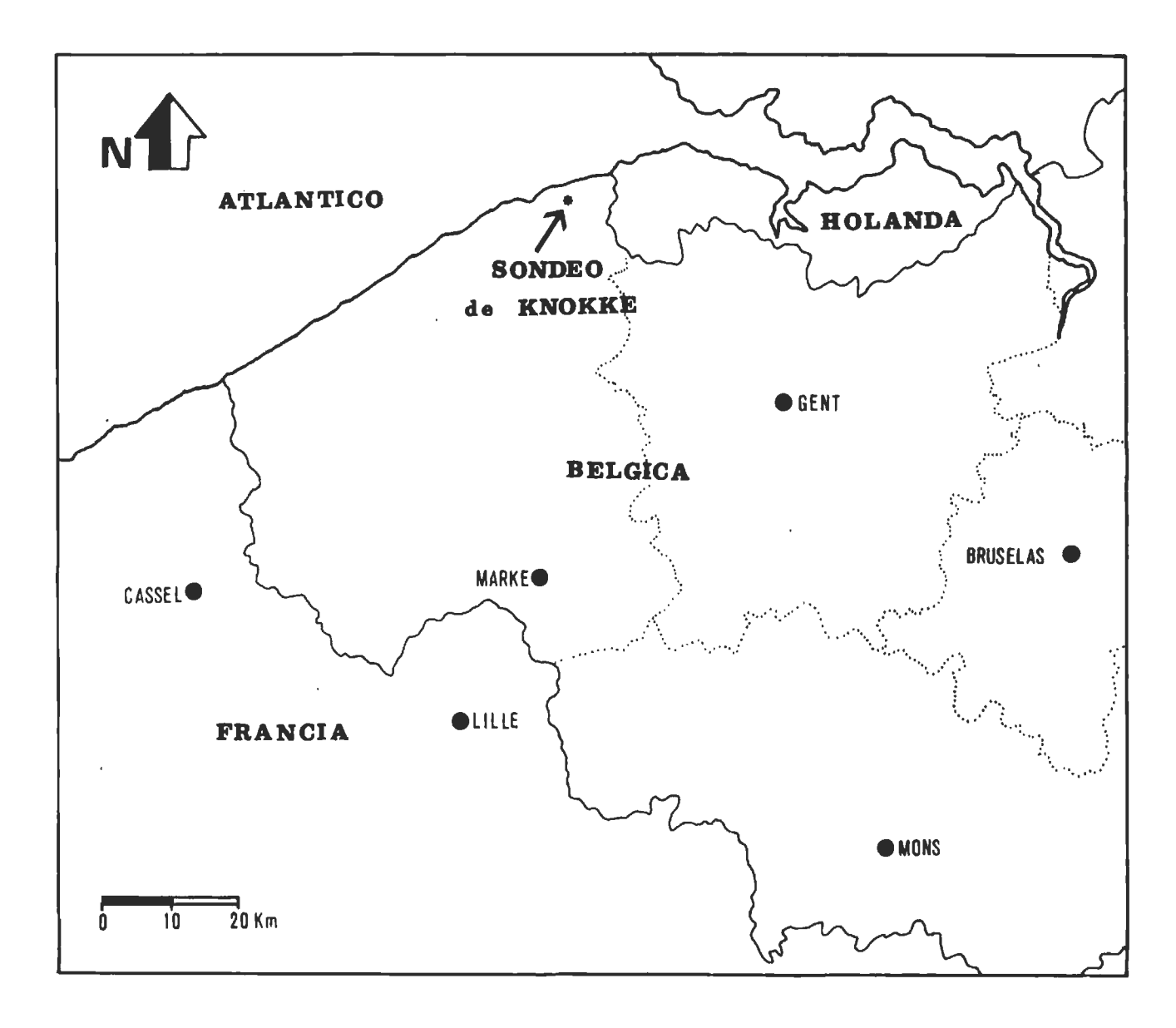


Fig. 1: Situación geográfica del sonde Knokke 11E/138 (Bélgica).

El presente trabajo se basa en el estudio de un sondeo, realizado en 1982 por el Service Géologique de Belgique, en una de las partes de la cuenca en que se encuentran sedimentos de una profundidad suficiente para que existan foraminíferos planctónicos. En concreto, el sondeo Knokke (11E/138) se realizó muy cerca de la costa con el Mar del Norte al Noroeste de Bélgica (Fig. 1). Este sondeo tiene 311 metros de profundidad y en él están materiales del representados tránsito Paleoceno-Eoceno: Formación Landen (Landeniense), y Formación leper (Ypresiense), así como otros más antiguos y más modernos. La Formación leper en el sondeo de Knokke se extiende desde la profundidad de 144 m. hasta 288 m. A excepción de los cinco metros basales que están compuestos por limos, la Formación leper está constituida por arcillas verde-grisaceas con algunas intercalaciones limosas, así como pequeños nódulos de pirita dispersos. La descripción litológica detallada de este sondeo ha sido realizada por Laga y Vandenberghe (1990) y Vandenberghe et al. (1990). Los ostrácodos y microfósiles de pared orgánica han sido estudiados por Dupuis et al. (1990). El nanoplancton calcáreo por Steurbaut (1990). Los microforaminíferos bentónicos y otros microfósiles por King (1990). Sin embargo, los foraminíferos planctónicos no han sido estudiados en detalle, sólo se puso de manifiesto su aparición y abundancia relativa en algunos intervalos del sondeo, a pesar de ser este uno de los mejores registros en el área estratotípica, y de su interés para la datación precisa de la base del Ypresiense.

MATERIALES Y METODOLOGIA

Las muestras para este trabajo fueron tomadas en diciembre de 1991 durante la celebración de la Reunión Internacional del Proyecto IGCP: 308 en Bruselas. Las muestras se seleccionaron de la parte inferior de la Formación leper, en aquellos niveles donde había sido detectada la presencia de foraminíferos planctónicos, de acuerdo con la publicación de King (1990) sobre la estratigrafía del Eoceno en este sondeo. Estos niveles son los siguientes: entre los 220 m. y los 222 m. de profundidad se localiza el tramo de máxima abundancia, entre los 234 m. y los 236 m. hay escasos ejemplares y entre los 277 y 278 m. aparece otro tramo con poca concentración de ejemplares.

Cada muestra fue sumergida en agua hasta su completa disgregación. Debido a la naturaleza arcillosa del sedimento no fue necesaria la adición de ningún producto disgregante. Las muestras fueron lavadas con un tamiz de 63 micras de luz de malla. La fracción estudiada fue la mayor de 106 micras, aunque la fracción menor (entre 106 y 63 micras) también fue examinada para el estudio de las especies de pequeño tamaño. En total se estudiaron 7 muestras, ya que el resto no tienen foraminíferos planctónicos, en la mayor parte de las muestras se separaron todos los foraminíferos planctónicos del residuo, salvo en las muestras 220, 221 y 222 en las que se han seleccionado alrededor de 300 ejemplares por muestra. Todos los especímenes seleccionados fueron montados en celdillas para tener un registro permanente y que puedan ser identificados. La conservación de los foraminíferos planctónicos es excelente, ya que no existen signos de recristalización y las cámaras están huecas.

TAXONOMIA

Bioestratigrafía con foraminíferos planctónicos del Paleoceno y del Eoceno Inferior ha sido establecida en latitudes bajas (Bolli, 1957; Blow, 1979; Berggren y Miller, 1988), por lo tanto, en latitudes altas estas biozonaciones son más difíciles de aplicar, va que suelen faltar las especies índices utilizadas para marcar los límites de ciertas biozonas. Por esta razón ha sido necesario un estudio taxonómico detallado para reconocer la variabilidad y distribución de las especies encontradas, las cuales podrían permitir la correlación con latitudes más bajas. En este sentido, dada la escasez de descripciones de foraminíferos planctónicos del Ypresiense en su área tipo, se realiza a continuación una descripción pormenorizada de los taxones estudiados, así

como diversas reflexiones sobre la taxonomía y la distribución conocida en otras partes del mundo.

En los referente a la nomenclatura utilizada en las descripciones se ha seguido a Blow (1979), Li (1987) y Canudo (en prensa). En cuanto a la distribución bioestratigráfica se han utilizado las escalas más conocidas a nivel mundial, tales como las de Blow (1979) y Bolli (1957), con su última revisión debida a Toumarkine y Luterbacher (1985). Para el encuadre taxonómico se ha seguido a Blow (1979) y Cifelli (1982).

Orden FORAMINIFERIDA Eichwald, 1830 Suborden GLOBIGERININA Loeblich y Tappan, 1984

Superfamilia GLOBIGERINACEA Carpenter, Parker y Jones, 1862

Familia GLOBOQUADRINIDAE Blow, 1979

Género *Subbotina* Brotzen y Pozariska, 1961

Subbotina eocaenica (Terquem, 1882) Lám. 2, Figs. 4 y 5.

- 1982 Globigerina eocaenica Terquem, pág. 86, Lám. 9, fig. 4.
- 1974 Subbotina eocaenica (Terquem) Fleisher, Lám. 15, figs. 9.
- 1979 Subbotina eocaenica (Terquem) Blow, pág. 1260, Lám. 142, figs. 4-5.

Descripción: Presenta en la última vuelta de espira entre 3 y 3 1/2 cámaras subesféricas apretadas, y ligeramente comprimidas verticalmente. La concha está formada de 12 a 14 cámaras que crecen rápidamente de tamaño, pudiendo ocupar la última cámara un tercio de toda la concha. El perfil axial es subcuadrado. El lado dorsal es pequeño y profundo. La abertura principal está en posición anterointraumbilical.

Discusión: Las especies incluidas en Subbotina poseen una morfología poco distintiva y es difícil reconocer los límites exactos entre las especies. Esto ha provocado una proliferación de nombre y dificultades en el reconocimiento de los taxones válidos. En este sentido, se plantea un problema para la denominación de los especímenes de Subbotina con tres o tres cámaras y media que son abundantes en la parte más baja del Eoceno inferior. Una solución es considerarlos S. linaperta, lo que obliga a ampliar la distribución de este taxón desde el Paleoceno al Eoceno Superior (Blow, 1979). Sin embargo, los especímenes típicos de S. linaperta del Eoceno Superior presentan las cámaras más aplastadas y un desarrollo más constante del pórtico que los del Eoceno Inferior, por lo que resulta lógico separarlos taxonómicamente. En la literatura más reciente sobre el tránsito Paleoceno-Eoceno se tiende a utilizar la especie S. patagónica, sin embargo esto tiene algunos problemas. En primer lugar, la posición bioestratigráfica del holotipo no es bien conocida, habiendo autores que consideran que sería Eoceno Superior. Por otra parte, el holotipo presenta una abertura en forma de arco alto que no se encuentra en las formas de la parte más baja del Eoceno Inferior, en los cuales la abertura tiene un arco más bajo. Este arco alto parece acercar S. patagónica a Subbotina frontosa o alguna otra especie similar, y por lo tanto de niveles estratigráficos más modernos que el tránsito Paleoceno-Eoceno. Según Berggren (1960) el holotipo de S. eocaenica está perdido y es difícil definir un neotipo y en consecuencia debería ser considerado como un nomen dubium no conservandum. En este trabajo se ha mantenido S. eocaenica ya que el material estudiado se asemeja bastante bien a las figuraciones del holotipo de S. eocaenica (Terquem). Además, tendría el sentido filogenético de nombrar al taxón ancesto de S. frontosa, de la cual se diferenciaría exclusivamente por el desarrollo de una abertura con un arco más elevado a lo largo de la parte alta del Eoceno inferior. La cuestión de la validez o no de este taxón requeriría una profunda revisión del género Subbotina, lo cual desborda los objetivos de este trabajo.

Distribución: Debido a los problemas taxonómicos discutidos anteriormente es difícil conocer la distribución exacta de este taxón a nivel global. Según nuestras observaciones en España (Pirineo y Béticas) se encuentra desde el tránsito Paleoceno-Eoceno hasta la parte más alta del Eoceno Inferior.

Subbotina triangularis (White) 1928 sensu Bolli 1957

Lám. 2, Fig. 4.

- 1928 Globigerina triangularis White, pág. 195, Lám. 28, figs. 1a-b.
- 1957 *Globigerina triangularis* White, Bolli, pág. 71, Lám. 15, figs. 12-14.
- 1979 Subbotina triangularis (White) Blow, pág. 1281, Lám. 91, figs. 7 y 9; Lám. 98; Lám. 107, figs. 8 y 9.

Descripción: Presenta en la última vuelta de espira entre 3 1/2 y 4 cámaras globosas subesféricas, que crecen rápidamente de tamaño. La concha está compuesta de 11 a 14 cámaras, ligeramente abrazadoras y que crecen regularmente de tamaño. El perfil axial es subredondeado. El lado dorsal varía de plano a ligeramente convexo, el lado umbilical es convexo. Las suturas intercamerales son rectas o ligeramente curvas tanto en el lado dorsal como umbilical. El ombligo es pequeño y profundo. La abertura principal es intraumbilical con un labio bien desarrollado.

Discusión: Esta especie es morfológicamente similar a *S. eocaenica*. Las figuraciones originales del holotipo no permiten una identificación clara de esta especie, por lo que su utilización plantea algunas dificultades. En este trabajo se ha seguido a autores como Blow (1979), considerando a *S. triangularis* en el sentido de Bolli (1957), ya que sus figuraciones permiten una fácil identificación. Ahora bien, mientras el holotipo no se refigure es dudoso que sean las mismas especies, ya que la figuración original del holotipo tiene tres cámaras en la última vuelta de espira y *S. triangularis* en el sentido de Bolli (1957) tiene cuatro.

Distribución: El holotipo de esta especie fue

descrito por White (1928) con un ejemplar recogido en la Formación Velasco del Paleoceno Superior de México. Originalmente este autor lo atribuyó al Cretácico, sin embargo Bolli (1957) lo situó correctamente en el Paleógeno. Posteriormente ha sido citada en numerosas partes del mundo: Costa este de África (Blow, 1979), centro de Europa (Jednorowska, 1975), Atlántico sur (Pujol, 1983), etc. Según Blow (1979) se encuentra desde su Biozona P2 hasta la Biozona P9. En el Atlántico, Premoli Silva y Boersma (1988) la consideran como un representante típico de las latitudes altas en el Eoceno Inferior.

Subbotina hornibroki (Brönniman) 1952

- 1952 *Globigerina hornibrooki* Brönniman, pág. 15, lám. 2, figs. 4-6.
- 1979 Subbotina hornibroki hornibrooki (Brönniman), Blow, pág. 1269, lám.101, figs. 7, 9; lám. 124, figs. 7, 8; lám. 142, fig. 6; lám, 160, fig. 4.

Descripción: Presenta en la última vuelta de espira 4 cámaras globosas y subesféricas. La concha tiene entre 10 y 12 cámaras que crecen progresivamente de tamaño, de manera que la última cámara ocupa una cuarta parte de toda la concha. El contorno axial es subcuadrado y claramente lobulado. Las suturas intercamerales son rectas o ligeramente curvas, tanto en el lado dorsal, como en el umbilical. El lado dorsal varía de plano a ligeramente convexo. El ombligo es ancho y profundo. La abertura principal está en posición intraumbilical.

Discusión: Esta especie presenta una gran parecido morfológico con *S. triangularis* e incluso podrían ser distintos morfotipos de la misma especie. Como la resolución de este problema sobrepasa los objetivos de este trabajo, hemos preferido diferenciar estas dos especies, ya que morfológicamente son distinguibles. Así, *S. hornibrooki* presenta cuatro cámaras en la última vuelta de espira, tiene un enrollamiento más apretado que *S. triangularis* y puede tener un lado dorsal ligeramente convexo.

Distribución: Brönniman (1952) describió el holotipo de esta especie con un ejemplar recogido en la parte inferior de la Formación Lizard Springs (Paleoceno-Eoceno inferior de Trinidad). Posteriormente, ha sido poco citada, debido a estar incluida en la variabilidad de otras especies. Cabe destacar a Blow (1979) que la encuentra en la costa este de África y Pujol (1983) que lo hace en el Atlántico sur, en un intervalo que va desde el Paleoceno Superior al Eoceno Inferior.

Subbotina finlayi (Brönniman) 1952

1952 Globigerina finlayi Brönniman, pág. 18, lám. 2, figs. 10-12.

1979 Subbotina hornibroki finlayi (Brönniman) blow, pág. 1271, lám. 101, ?fig. 8.

Descripción: Tiene de 10 a 12 cámaras subesféricas que crecen rápidamente de tamaño, la última cámara ocupa un tercio o la mitad de toda la concha. El lado dorsal varía de plano a ligeramente convexo. El lado umbilical es convexo. En la última vuelta tiene tres cámaras. El contorno ecuatorial es subcuadrado y ligeramente lobulado. El perfil axial es redondeado. Las suturas intercamerales son muy deprimidas y varían de curvas a rectas tanto en el lado dorsal como en el umbilical. El ombligo es pequeño y abierto. La abertura principal está en posición intraumbilical y tiene forma de arco bajo y amplio con un labio poco desarrollado.

Distribución: Brönniman (1952) describió el holotipo con un ejemplar recogido en la Formación Lizard Springs del tránsito Paleoceno-Eoceno de Trinidad. Posteriormente esta especie ha sido poco citada, habiendo sido encontrada en el Atlántico (Blow, 1979), en el área mediterránea (Salaj et al., 1976) y en el Pirineo (Canudo y Molina, 1992). Su primera aparición se encuentra en la parte más alta del Paleoceno Superior y se distribuye a lo largo del Eoceno Inferior.

Género Paragloborotalla Cifelli, 1982

Paragloborotalia quadrilocula (Blow) 1979 Lám. 2, Fig. 3.

1979 Globorotalia (Turborotalia) quadrilocula Blow, pág. 1109, Lám. 75, figs. 8. Lám. 78, figs. 2-4, Lám. 83, fig. 3, Lám. 87, figs. 7-8.

Descripción: Tiene 4 cámaras en la última vuelta de espira, ocupando la última un cuarto de toda la concha. Tiene 2 ó 2 1/2 vueltas de espira. El perfil axial es redondeado y el contorno ecuatorial es claramente lobulado. El lado dorsal es plano o ligeramente convexo. Las suturas intercamerales son muy deprimidas y varían de rectas a ligeramente curvas. La abertura principal está en posición extraumbilical y tiene forma de arco bajo y amplio con un labio poco desarrollado. La superficie de la pared es reticulada.

Discusión: En la descripción original de este taxón, Blow (1979) lo incluye en el género Turborotalia. Ahora bien, tradicionalmente se ha considerado Turborotalia en sentido amplio, incluyendo en él las especies del Paleógeno con un enrollamiento troncoespiralado durante toda la ontogenia, perfil axial redondeado y con la abertura principal en posición umbilico-ecuatorial o extraumbilical. Con estos criterios taxonómicos, Turborotalia ha sido utilizado como un "cajón de sastre", incluyendo especies con diferente estructura de la pared y sin relación filogenética. En un intento de aclarar este problema, Fleisher (1975) proponer utilizar Turborotalia únicamente para representantes de la línea de T. cerroazulensis, es decir, taxones con la superficie de la pared lisa. Al aceptar esta propuesta y restringir el uso de Turborotalia es necesario cambiar la posición genérica de las especies del Paleógeno con la pared reticulada, que generalmente, (p. ej. Blow, 1979) se han incluido en Turborotalia. solución es utilizar el género Paragloborotalia, ya que este taxón fue definido por Cifelli (1982) para las especies incluidas anteriormente en Turborotalia o Globorotalia

del Paleógeno Superior-Neógeno con la superficie de pared reticulada. Sin embargo, taxones con la pared reticulada y abertura extraumbilical ya se encuentran desde el Paleoceno, como en el caso de *P. quadrilocula*.

Distribución: El holotipo de esta especie está descrito en un sondeo del DSDP del Atlántico en la parte baja del Paleoceno Superior (Blow, 1979). Aunque este autor restringe la distribución de esta especie al Paleoceno, su presencia en el Eoceno Inferior ha sido puesto de manifiesto (Canudo y Molina, 1992) no conociéndose hasta donde llegaría su distribución más moderna, pero al menos se encuentra en niveles referibles a la Biozona P 7 de Berggren y Miller (1988).

Familia GLOBIGERAPSIDAE Blow, 1979

Género Muricoglobigerina Blow, 1979

Muricoglobigerina aquiensis (Loeblich y Tappan) 1957

Lám. 1, Figs. 8 y 9; Lám. 2, Fig. 8.

- 1957 Globigerina aquiensis Loeblich y Tappan, pág. 180, lám. 51, figs. 4a-c, ?figs. 5a-c, lám. 56, figs. 4a-c, ?fig. 5a-c, ?fig. 6a-c.
- 1990 Globigerina aquiensis Loeblich & Tappan; Willems, pág. 408, Lám. 11, figs. 4a-c.

Descripción: Presenta 4 cámaras subesféricas en la última vuelta de espira que crecen regularmente de tamaño. La concha presenta entre 11 y 14 cámaras. El perfil axial es redondeado. El contorno ecuatorial es lobulado o subovalado. Las suturas intercamerales están deprimidas y varían de rectas a ligeramente curvas. La pared es muricada, pero con la murica dispersa en toda la concha. El ombligo es amplio y profundo. La abertura principal está en posición intraumbilical o anteriointraumbilical.

Distribución: Loeblich y Tappan (1957) describieron el holotipo con un ejemplar recogido en la Formación Aquia del Paleoceno Superior de New Jersey (USA). Posteriormente ha sido ci-

tada en el Pacífico (Beldford, 1984), India (Samanta, 1973), en el sur de Africa (Pujol y Sigal, 1979), norte de Europa (Berggren, 1960) y este de Africa (Blow, 1979). Este último autor la encuentra desde el Paleoceno Superior (P. 4) hasta la parte más baja del Eoceno Inferior (P. 6b de Berggren y Miller, 1988).

Muricoglobigerina chascanona (Loeblich y Tappan) 1957

Lám. 1, Figs. 6 y 7.

- 1957 Globigerina chascanona Loeblich & Tappan, págs. 180-181, Lám. 49, figs. 5a-c, no Lám. 49, figs. 4a-c; ? Lám. 61, figs. 8a-c.
- 1979 *Muricoglobigerina chascanona* (Loeblich & Tappan), Blow, pág. 1126, Lám. 91, figs. 1 y 2; Lám. 92, fig. 3; Lám. 93, figs. 7-9; Lám. 101, figs. 5 y 6; Lám. 235, figs. 1-3.

Descripción: Tienen 4 ó 4 1/2 cámaras subesféricas que crecen lentamente de tamaño. La concha presenta de 10 a 14 cámaras. El perfil axial es redondeado. El contorno ecuatorial es lobulado. El lado dorsal es claramente convexo. Las suturas intercamerales están deprimidas y son curvas. La pared está muricada, pero con la murica dispersa en toda la concha. El ombligo es profundo. La abertura principal es intraumbilical.

Discusión: El género Muricoglobigerina tiene diferentes patrones en el empaquetamiento de la murica. Así, tanto el material estudiado de M. chascanona como el de otras dos especies de Muricoglogerina (M. esnehensis y M. aquiensis) tienen diferencias con las figuraciones de Blow (1979). En las figuraciones de este autor se puede observar que la murica se encuentra fuertemente empaquetada y no dispersa como el caso del material estudiado. Estas diferencias en el patrón de la murica no está suficientemente bien documentado en trabajos sistemáticos, que bien podrían estar relacionados con la posibilidad de que estas especies tuvieran diferentes morfotipos en función de la latitud o de la profundidad.

Distribución: Esta especie fue descrita por Loeblich y Tappan (1957) con un ejemplar recogido en la Formación Hornestown del Paleoceno Superior de New Jersey (EUA). Posteriormente ha sido citada en otras partes del mundo (Blow, 1979), en un intervalo que va desde la P 4 (Paleoceno Superior) hasta niveles equivalentes a la P 6b (Eoceno Inferior).

Muricoglobigerina soldadoensis (Brönniman) 1952

Lám. 2, Figs. 2 y 5.

1952 *Globigerina soldadoensis* Brönniman, pág. 7-9, figs. 1-9.

1979 Muricoglobigerina soldadoensis soldadoensis (Brönniman) Blow, pág. 1120, Lám. 98, figs. 1-3, Lám. 107, figs. 1-5, Lám. 109, fig. 89, Lám. 110, figs. 1, Lám. 124, figs. 1, 3 y 5, Lám. 131, figs. 1-3, Lám. 235, fig. 6.

Descripción: Tiene la concha compuesta por 9 ó 10 cámaras en dos vueltas de espira. En la última hay 4 1/2 cámaras. El lado dorsal es plano o ligeramente convexo. El umbilical distintivamente convexo. El perfil axial es subredondeado. Las últimas cámaras formadas son claramente más anchas que altas. La abertura principal es intraumbilical o anterointraumbilical. La pared tiene murica dispersa, que en algunos casos tiende a aglutinarse alrededor del ombligo, pero sin formar hombreras umbilicales.

Distribución: Brönniman (1952) describió el holotipo de *M. soldadoensis* con un ejemplar recogido en la parte baja de la formación Lizard Springs del Paleoceno Superior de Trinidad. Posteriormente ha sido citada en numerosas localidades: en el área mediterránea (Luterbacher, 1975), en el centro de Europa (Jednorowska, 1975), en el Índico (Pujol y Sigal, 1975), etc. En una distribución pretendidamente global, Toumarkine y Luterbacher (1985) la citan desde la parte más alta del Paleoceno Superior hasta el límite Eoceno Inferior-Medio. Es una especie típica de latitudes medias y bajas en el Eoceno

Inferior del Atlántico (Premoli Silva y Boersma, 1988) que se extiende a latitudes altas, por lo cual es una especie muy cosmopolita.

Muricoglobigerina esnehensis (Nakkady) 1950

Lám. 1, Figs. 1 y 3.

1950 Globigerina cretacea esnehensis Nakkady, pág. 689, Lám. 90, figs. 14-16

1979 *Muricoglobigerina esnehensis* (Nakkady), Blow, pág. 1117, Lám. 109, figs. 1-7.

Descripción: Tiene la última vuelta de espira formada por 6 cámaras esféricas que crecen gradualmente de tamaño. La concha está compuesta de 12 a 14 cámaras. El perfil axial es redondeado. El contorno ecuatorial es subredondeado y claramente lobulado. El lado dorsal varía de plano a ligeramente convexo. El ombligo es amplio y abierto. La abertura principal está en posición intraumbilical o anterointraumbilical. La superficie de la pared es muricada, estando más empaquetada la murica alrededor del ombligo.

Distribución: Nakkady (1950) describió el holotipo de *M. esnehensis* con un ejemplar recogido en el techo de las pizarras de Esna (Eoceno Inferior de Egipto). Con posterioridad ha sido poco citada, al haberse incluido dentro de la variabilidad de otras especies. Canudo y Molina (1992) encuentran en el Atlántico norte que su primera aparición estaría en la Biozona P 6a de Berggren y Miller (1988), aunque empieza a ser más abundante a partir de la P 6b-P 7, teniendo su última aparición en la parte media-alta del Eoceno Inferior (Blow, 1979).

Familia TRUNCOROTALOIDIDAE Loeblich y Tappan, 1961

Género Acarinina Subbotina, 1953

Acarinina cf. pentacamerata (Subbotina) 1947 ex Subbotina 1936

Lám. 2, Fig. 7.

?1936 Globorotalia crassa pentacamerata

Subbotina, págs. 11, 14, 16; Lám. 3, figs. 7-9.

1990 Turborotalia pentacamerata (Subbotina); Willems, pág. 408, Lám. 11, figs. 1a-i.

Descripción: La última vuelta de espira está compuesta de 5 a 5 1/2 cámaras subesféricas que crecen regularmente de tamaño, pudiendo ocupar la última cámara formada una quinta parte del organismo. La concha está formada entre 10 y 12 cámaras. El perfil axial es subredondeado. El contorno ecuatorial es subcircular y lobulado. La pared es muricada con la murica dispersa. El ombligo es amplio y abierto. La abertura principal varía de umbilicoecuatorial a extraumbilical y tiene forma de arco bajo.

Distribución: Blow (1979) restringe la presencia de A. pentacamerata s.s. a la parte alta del Eoceno Inferior (Biozonas P 8a y P 9), sin embargo desde horizontes correlacionales a la base de la Biozona P 6b se encuentran formas morfológicamente similares al holotipo de A. pentacamerata, aunque su pertenencia o no a la misma especie es un problema taxonómico sin resolver aún. Teniendo en cuenta la importancia bioestratigráfica que se la ha dado a este taxón, hemos preferido utilizar la nomenclatura abierta para nombrar los organismos como el figurado en la Lám. 2, fig. 7.

Acarinina acarinata Subbotina 1953

Lám. 2, Figs. 1 y 6.

1953 Acarinina acarinata Subbotina, pág. 229, lám. 22, figs. 4-10.

1979 Acarinina (Acarinina) acarinata acarinata Subbotina, Blow, pág. 904, lám. 97, fig. 7.

Descripción: Los ejemplares incluidos en esta especie tienen la trocoespira baja, de manera que el lado dorsal es plano. La última vuelta de espira está constituida por 4 ó 4 1/2 cámaras subesféricas, globosas y ligeramente deprimidas, lateralmente que crecen regularmente de tamaño. El perfil axial es subredondeado y el contorno ecuatorial varía de subcircular a subcuadrado. Las suturas intercamerales están

poco marcadas y varían de rectas a ligeramente curvas. El ombligo es pequeño y la abertura principal está en posición extraumbilical. La pared es muricada y perforada, estando la murica dispersa.

Distribución: El holotipo de esta especie fue descrito por Subbotina (1953) en el Paleoceno Superior del Caucaso. Posteriormente ha sido citada en el tránsito Paleoceno-Eoceno en numerosas localidades. Así en el este de Africa (Blow, 1979), en el centro de Europa (Jednorowska, 1975), etc.

BIOESTRATIGRAFIA

Los foraminíferos planctónicos constituyen una excelente herramienta para datar los materiales que los contienen. Por esta razón se han propuesto algunas biozonaciones que pueden utilizarse a escala global y pretenden tener un carácter estándar (Bolli, 1957; Blow, 1979; Toumarkine y Luterbacher, 1985; Berggren y Miller, 1988). Pero en latitudes altas suelen faltar los indicadores biozonales, lo que dificulta la correlación con latitudes bajas donde generalmente fueron definidas. Sin embargo, la presencia de algunos organismos, tanto en bajas como en altas latitudes, puede ser utilizada para la correlación. Además, en el caso del sondeo Knokke los foraminíferos planctónicos que aparecen son especies superficiales propias de medios someros, lo cual también dificulta la correlación con los medios profundos.

En este sentido, para establecer una bioestratigrafía fiable en las muestras de este sondeo nos hemos encontrado con varios problemas: la ausencia de especies índice y la baja diversidad taxonómica. Así, no se han encontrado representantes del género Morozovella, ni de acarinídos con perfil anguloso, ni de Pseudohastigerina; taxones generalmente utilizados en la bioestratigrafía del tránsito Paleoceno-Eoceno. Otro problema importantes es la escasez de foraminíferos planctónicos en todas las muestras, salvo en las correspondientes a los metros 220, 221 y 222, donde puede completarse la selección de

300 ejemplares necesarios para cualquier estudio cuantitativo.

En la asociación de las muestras 220, 221 y 222, las especies de Subbotina (S. triangularis, S. hornibrooki, S. finlayi y S. eocaenica) no tienen un especial significado bioestratigráfico, aunque la abundancia de S. eocaenica nos indica claramente niveles por encima del límite Paleoceno-Eoceno (Canudo y Molina, 1992). Más interés para la datación tienen los representantes de Muricoglobigerina (M. chascanona, aquiensis, M. soldadoensis y M. esnehensis). Como se ha indicado en el apartado de distribución de los distintos taxones, M. aquiensis y M. chascanona se han citado hasta horizontes correlacionales con la Biozona P 6b de Berggren y Miller (1988), la cual se correlaciona con al Biozona P 7 de Blow (1979) y Biozonas de Morozovella edgari y Morozovella subbotinae de Toumarkine y Luterbacher (1985). Por otra parte, según Canudo y Molina (1992) M. esnehensis en el corte de Zumaya tiene su primera aparición en niveles cercanos al límite Paleoceno-Eoceno, más concretamente en la Biozona P 6a de Berggren y Miller (1988). En consecuencia, la asociación de foraminíferos en los metros 220-222 planctónicos bioestratigráficamente se situaría en la parte más alta de la Biozona P 6a o más probablemente en la P 6b de Berggren y Miller (1988).

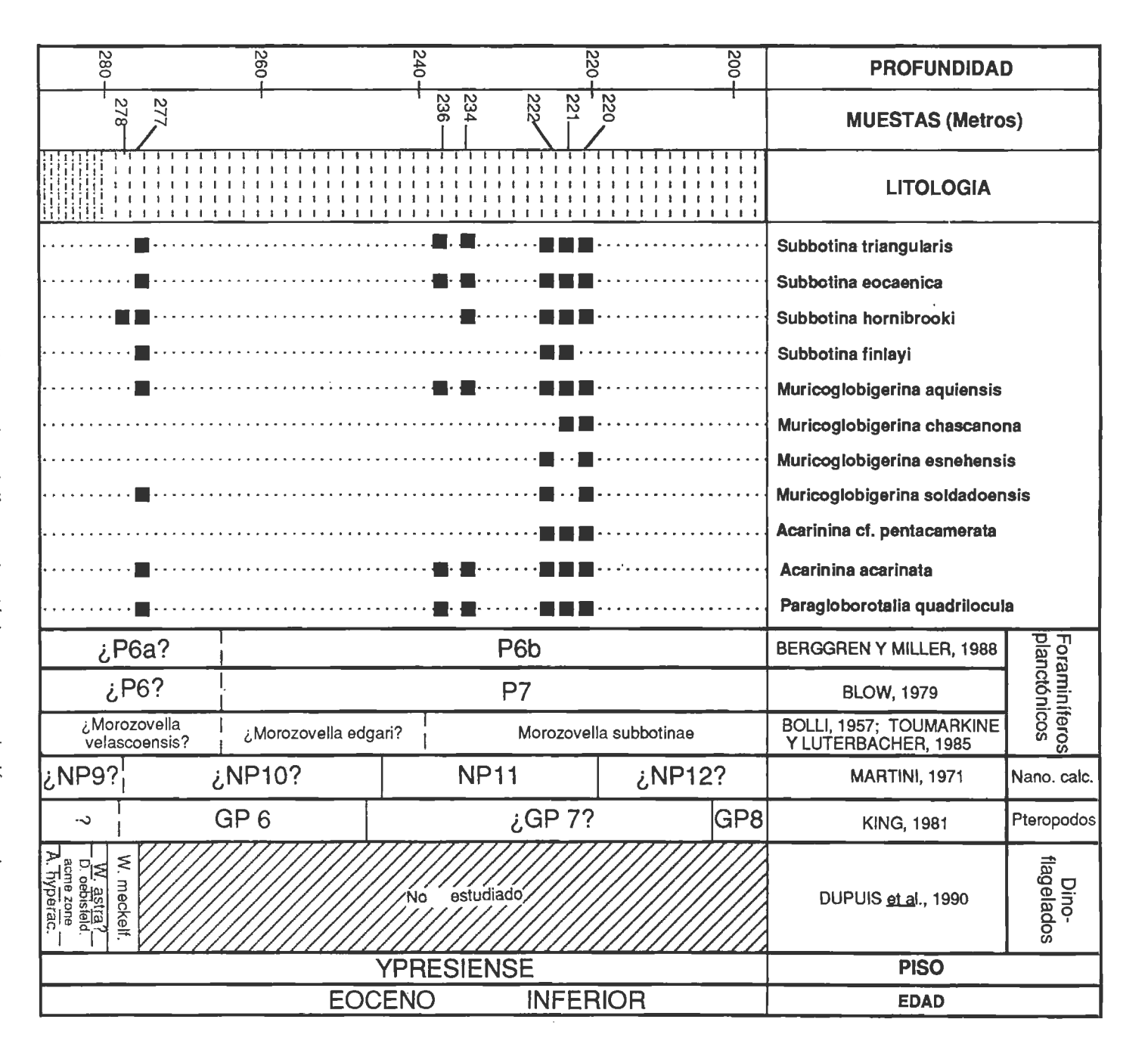
Más dificultad hay para datar las muestras con foraminíferos planctónicos situadas entre los 277 y 278 metros de profundidad. Básicamente la asociación es similar a la encontrada en los niveles más modernos, pero se diferencia en que no aparece M. esnehensis, que es una especie más abundante en las Biozonas P 6b y P 7, aunque puede estar en la parte superior de la Biozona P 6a. Debido a la escasez de foraminíferos planctónicos no existen argumentos sólidos para decidir si la primera aparición de M. esnehensis en la muestra 222 es buen indicador bioestratigráfico o viene dada por factores tafonómicos. Si fuera lo primero es muy posible que esta asociación pertenezca a la Biozona P 6a. En definitiva, la parte baja de la formación leper en términos de foraminíferos planctónicos permite caracterizar la Biozona P 6b, pudiendo pertenecer la parte

más baja a la Biozona P 6a de Berggren y Miller (1988).

CRONOESTRATIGRAFÍA

El piso Ypresiense es considerado actualmente por la Subcomisión Internacional de Estratigrafía del Paleógeno como el piso estándar para caracterizar al Eoceno Inferior (Jenkins y Luterbacher, 1992). Según la Subcomisión la base de este piso marcaría el límite entre el Paleoceno y el Eoceno, lo cual le confiere un gran interés a la datación y correlación de la base del Ypresiense.

El Ypresiense fue definido por Dumont (1849) y recientemente ha sido revisado por Willems et al., (1981). La extrema base de este piso no ha podido ser datada con fósiles calcáreos debido a su ausencia. Sin embargo, existen palinomorfos, que según Coninck (1990) permiten afirmar que la Biozona W 2 de dinoflagelados se encuentra en la base del Ypresiense de Bélgica. Además, Dupuis et al., (1990) han reconocido en la base de la Formación leper en este sondeo la Biozona de acme de Deflandrea oebisfeldensis y el techo de A.hyperacanthum. En niveles ligeramente más altos (metros 265 a 245) han sido encontrados por King (1990) algunos ejemplares del Pteropodo Spiratella mercinensis, lo cual le ha permitido atribuirlos a la Biozona GP 6 de King (1981). Por otra parte, los primeros niveles que contienen nannoplancton calcáreo (229 m a 245 m) han sido datados por Steurbaut (1990) como pertenecientes a la Biozona NP 11 de Martini (1971). Estos niveles corresponderían a la parte superior del intervalo estudiado en este trabajo con lo que no puede descartarse que la base del Ypresiense pertenezca a la biozona NP 10 o incluso al techo de la NP 9. Por otro lado, correlaciones de síntesis a escala global realizadas por Berggren et al., (1985) sitúan la base del Ypresiense en coincidencia con el límite NP 9/NP 10. Sin embargo, más recientemente Aubry et al., (1988) sitúan la base de este piso dentro de la Biozona NP 10, pero estas atribuciones las realizan por correlación indirecta va que no existen nannofósiles calcáreos en la base del Ypresiense.



Bioestratigrafía con de la parte inferior foraminíferos planctónicos de la Formación leper en <u>e</u> ~ correlación sondeo de con otras Knokke.

Los foraminíferos planctónicos encontrados son poco significativos biostratigráficamente, muchas especies están ausentes debido a la latitud y poca profundidad. Otras como *Pseudohastigerina wilcoxensis* migran a esta cuenca tardíamente cuando las condiciones de temperatura y profundidad lo permiten (Molina *et al.*, 1992). Esto se confirma por la aparición de dicha especie en la parte alta de la Formación leper (metro 154,8) en niveles correlacionables con la Biozona NP 12 (King, 1992).

En definitiva, las asociaciones encontradas en foraminíferos planctónicos al ser comparadas con las de los cortes de Campo (Molina et al., 1992) y Zumaya (Canudo y Molina, 1992), permiten atribuir la parte inferior de la Formación leper a la Biozona P 6b y la parte más baja posiblemente a la parte superior de la Biozona P 6a de Berggren y Miller (1988). Esta datación es congruente con las correspondientes a dinoflagelados (Dupuis et al., 1990), nannoplancton calcáreo (Steurbaut, 1990), y Pteropodos (King, 1990). En consecuencia, el límite Ypresiense/Landeniense de Bélgica podría coincidir con el evento anóxico encontrado en Zumava en la parte superior de la Biozona P 6a, el cual coincide con la gran extinción de microforaminíferos bentónicos batiales v abisales, así como con el gran cambio negativo en los isótopos de C 13, evento que está siendo últimamente utilizado para marcar el límite Paleoceno/Eoceno.

CONCLUSIONES

El Ypresiense es el piso estándar para el Eoceno Inferior, pero originalmente no fue designado un corte estratotipo, considerándose que la Formación leper de Bélgica representa al Ypresiense. Debido a la poca profundidad en que se depositó esta formación las asociaciones de foraminíferos planctónicos son escasas y poco diversificadas, si bien la aquí estudiada es mejor que las encontradas en otras partes de Bélgica. La asociación de foraminíferos planctónicos que se han reconocido en la parte baja de la formación leper en el sondeo de Knokke (11 E/138) en Bélgica es la siguiente: Subbotina hornibrooki, Subbotina

triangularis, Subbotina eocaenica, Subbotina finlayi, Acarinina acarinata, Acarinina cf. pentacamerata, Muricoglobigerina aquiensis, Muricoglobigerina chascanona, Muricoglobigerina esnehensis, Muricoglobigerina soldadoensis y Paragloborotalia quadrilocula. Esta asociación permite datar la parte inferior del Ypresiense como Biozona P 7 de Blow (1979), Biozonas de Morozovella edgari o Morozovella subbotinae de Toumarkine y Luterbacher (1985) y Biozona P 6b de Berggren y Miller (1988). Además, existe un nivel con foraminíferos planctónicos cerca de la base de la Formación leper, que junto a los datos aportados por otros microfósiles, permiten afirmar que el límite inferior del Ypresiense estratotípico podría coincidir con el evento anóxico de la Biozona P 6a de Berggren y Miller (1988) utilizado para marcar el límite Paleoceno/Eoceno.

AGRADECIMIENTOS

Agradecemos al Servicio Geológico de Bélgica el habernos permitido tomar las muestras para nuestro estudio. Este trabajo se ha realizado en el marco del proyecto subvencionado por la DGICYT número PS 91 — 0172, titulado: "Micropaleontología y cronoestratigrafía del Paleógeno por medio de foraminíferos planctónicos" y del proyecto IGCP: 308 (Paleocene/Eocene boundary events).

REFERENCIAS BIBLIOGRÁFICAS

AUBRY M. P., BERGGREN W. A., KENT D., FLYNN J. J., KLITGROD K. D., OBRADROVICH J. D., PROTHERO D. R.

1988 Paleogene geochronology: an integrated approach, Paleoceanography, vol. 3, pp. 707-742.

BELDFORD D. J.

1984 Tertiary foraminifera and age of sediments OK Tedi-Wabagm Papua, New Guinea. Bureau of Mineral Resources and Geophysics, vol. 216, pp. 1-52.

BERGGREN W. A.

1960 Some planktonic foraminifera from the Lower Eocene (Ypresian) of Denmark and Northwestern Germany. Stockholm Contr. Geol., vol. 5, No. 3, pp. 41-108.

1969 Paleogene biostratigraphy of planktonic foraminifera of Northern Europe. Proc. Intern. I. Conf. Plank. Microfossils, vol. 5, pp. 121-160.

BERGGREN W. A., KENT D. V., FLYNN J. J.

1985 Jurasic to Paleogene. Part 2, Paleogene geochronology and chronostratigraphy. Geol. soc. Lond. Mém. 10, pp. 1411-1495.

BERGGREN W. A., MILLER K. G.

1988 Paleogene tropical planktonic foraminiferal biostratigraphy and magnetobiochronology. Micropalentology. vol. 34, No. 4, pp. 362-380.

BLOW W. H.

1979 The Cainozoic Globigerinidae. A study of the morphology, taxonomy, evolutionary relationships and the stratigraphical distribution of some Globigerinidae (mainly Globigerinacea). E. J. Brill (ed.), 3 vol., pp. 1-1413.

BOLLI W. A.

1957 The genera Globigerina and Globorotalia in the Paleocene-Eocene Lizard Spring Formation of Trinidad. B.W.I. U.S. Nat. Mus. Bull., 215, pp. 155-172.

BRONNIMAN P.

1952 Trinidad Paleocene and Lower Eocene Globigerinidae. Bull. Amer. Paleont., vol. 34, No. 143, pp. 1-34.

CANUDO J. I. en prensa

Los foraminíferos planctónicos del Paleoceno-Eoceno en el Prepirineo meridional y su comparación con la Cordillera Bética. Memorias del Museo Paleontología de Zaragoza, vol. 6, pp. 1-435.

CANUDO J. I., MOLINA E.

1991 Planktic Foraminiferal Faunal turnover and biochronostratigraphy of the Paleocene-Eocene boundary at Zumaya, Northern Spain. Rev. Soc. Geol. España, vol. 5, No. 1-2, pp. 145-157.

1992 Bioestratigrafía con foraminíferos planctónicos del Paleógeno del Pirineo. N. Jb. Geol. Paläont. Abh. Vol. 186, No. 1-2, pp. 97-135.

CAVELIER C., POMEROL CH.

1986 Stratigraphy of the Paleogene. Bulletin de la Socété géologique de France, 8° série vol. II, No. 2, pp. 255-265.

CIFELLI B.

1982 Early ocurrences and some phylogenetic implications of spiny, honeycomb textured planktonic foraminifera. J. Foram. Res., vol. 12, pp. 105-112.

DE CONINCK J.

1990 Ypresian organic - walled phytoplankton in the Belgian Basin and adjacent areas. Bulletin de la Société belge de Géologie. vol. 97, fasc. 3-4, pp. 287-319.

DUMONT A.

1849 Rapport sur la carte géologique du Royaume. Bull. Acad. Roy. Sciences, vol. 16, No. 2, pp. 351-373.

DUPUIS C., DE CONINCK J., STEURBAUT E., eds.

1988 The Ypresian stratotype. Bulletin de la Société belge de Géologie, vol. 97, fasc. 3-4. pp. 1-478.

DUPUIS C., DE CONINCK J., GUERNET C., ROCHE E.

1990 Biostratigraphoc data - Ostracods and organic walled microfossils - of the Landen Formation and the base of the leper Formation in the Knokke borehole. Mém. Expl. Cartes Géologiques et Minières de la Belgique, No. 29, pp. 33-45.

FLEISHER R. L.

1974 Cenozoic planktonic Foraminifera and biostratigraphy Arabian, DSDP, Leg 23 A. Initial Repts. DSDP, vol. 23, pp. 1001-1072.

HOOYBERGHS H. J. F.

1983 Contribution to the study of planktonic foraminifera in the Belgian Tertlary. Aardkund. Medelingen, vol. 2, pp. 1-131.

JEDNOROWSKA A.

1975 Small foraminifera assemblages in the Paleocene of the Polish western Carpathians. Geologica Polonica, vol. 47, pp. 1-103.

JENKINS G. D., LUTERBACHER H.

1992 Paleogene stages and their boundaries (Introductory remarks). N. Jb. Geol. Paläont. Abh., vol. 186, Nos. 1-2, pp. 1-5.

KING C.

1981 The stratigraphy of the London Clay and associated deposits. Ed. Brill, Rotterdam, pp. 1-148.

1990 Eocene stratigraphy of the Knokke borehole (Belgium). Mém. Expl. Cartes Géologiques et Minières de la Belgique, No. 29, pp. 67-102.

LAGA P., VANDERBERGHE N.

1990 The Knokke Well (11E/138) with a description of the Den Haan (22W/276) and Oostduinkerke (35E/142) wells. Mém. Expl. Cartes Géologiques et Minières de la Belgique, No. 29, pp. 3-7.

LI Q. Y.

1987 Origin, phylogenetic development and systematic taxonomy of the Tenuitella plexus (Globigerinitidae, Globigerinina). Journ. Foram. Research., vol. 17, No. 4, pp. 298-320.

LOEBLICH A. R. JR., TAPPAN H.

1957 Planktonic foraminifera of the Paleocene and early Eocene age from the Gulf and Atlantic coastal plains. U.S. Nat. Mus. Bull., vol. 215, pp. 173-197.

LUTERBACHER H. P.

1975 Planktonic foraminifera of the Paleocene and early Eocene, Possagno section. Scheweitz., Palont. Abh., vol. 97, pp. 57-67.

MARTINI E.

- 1971 Standard Tertiary and Quaternary calcareous nannoplakton. Proceedings of the II Planktonic Conference. Tecnoscienza, vol. 2, pp. 739-785.
- MOLINA E., CANUDO J. I., GUERNET C., MCDOUGALL K., ORTIZ N.,
 PASCUAL J. O., PARES J. M., SAMSO J. M., SERRA KIEL J.,
 TOSQUELLA J.
- 1992 The stratotypic Ilerdian revisited: Integrated stratigraphy across the Paleocene/Eocene boundary. Revue de Micropaléontologie, vol. 35, No. 2, pp. 143-156.

NAKKADY S. E.

1950 A new foraminiferal fauna from the Esna shales and Upper Cretaceous chalk of Wgypt. J. Paleont., vol. 24, pp. 675-692.

OLSSON R. K., HEMLEBEN C., BERGGREN W., LIU CH.

1992 Wall texture classification of planktonic foraminifera genera in the Lower Danian. Journal Foram. Research, vol. 22, No. 3, pp. 195-213.

PREMOLI SILVA I., BOERSMA A.

1988 Atlantic Eocene planktonic foraminiferal historical biogeography and paleohydrographic indices. Palaeogeogr., Palaeoclimat., Palaeoecol., vol. 67, pp. 315-356.

PUJOL C.

1983 Cenozoic planktonic foraminiferal biostratigraphy of the Southwestern Atlantic (Rio Grande Size): DSDP leg 72. Initial Repts. DSDP, vol. 72, pp. 623-673. PUJOL C., SIGAL J.

1979 Les Foraminiferes planctoniques Paléogenes du site 245 Bassin de Madagascar - Biostratigraphie (DSDP, leg. 25). Centre National de la recherche scientifique, pp. 1-105.

SALAJ J., POZARYSKA K., SZCECHURA J.

1976 Foraminiferida, zonation and subzonation of the Paleocene of Tunisia. Acta Paleont. Polonica, vol. 21, No. 2, pp. 127-190.

SAMANTA B. K.

1973 Planktonic foraminifera from the Paleocene-Eocene succession in the Rakhi Nala, Sulaiman Range, Pakistan. Bulletin of the British Museum (Natural History) Geology, vol. 22, No. 6, pp. 424-482.

STEURBAUT E.

- 1988 New Early and Middle Eocene calcareous-nannmoplankton events and correlations in middle to high latitudes of the northern hemisphere. Newsl, Stratigr., vol. 18, No. 2, pp. 99-115.
- 1990 Calcareous Nannoplankton assemblages from the Tertiary in the Knokke borehole. Mém. Expl. Géologuies et minières de la Belgique, No. 29, pp. 47-62.

SUBBOTINA N. N.

1953 Fossil Foraminifera of the USSR, Globigerinidae, Wantkeninidae and Globorotalidae. VNIGRI Mikrof. SSSR, vol. 76, pp. 1-296.

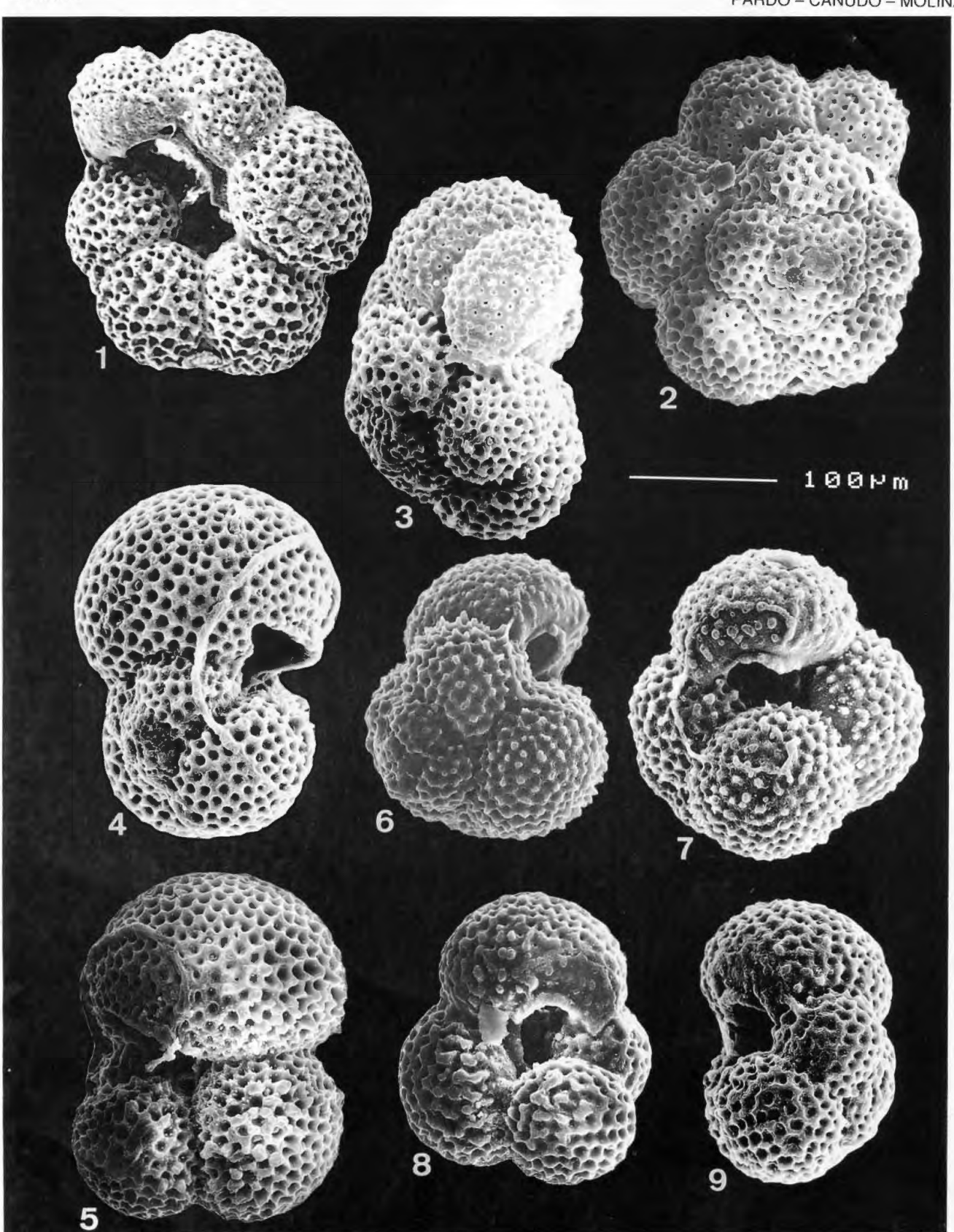
TOUMARKINE M., LUTERBACHER H. P.

1985 Paleocene and Eocene planktic foraminifera in Plankton Stratigraphy. Bolli H. M., Saunders J. B., Perch-Nielsen K. Eds., Cambridge University Press., pp. 88-153.

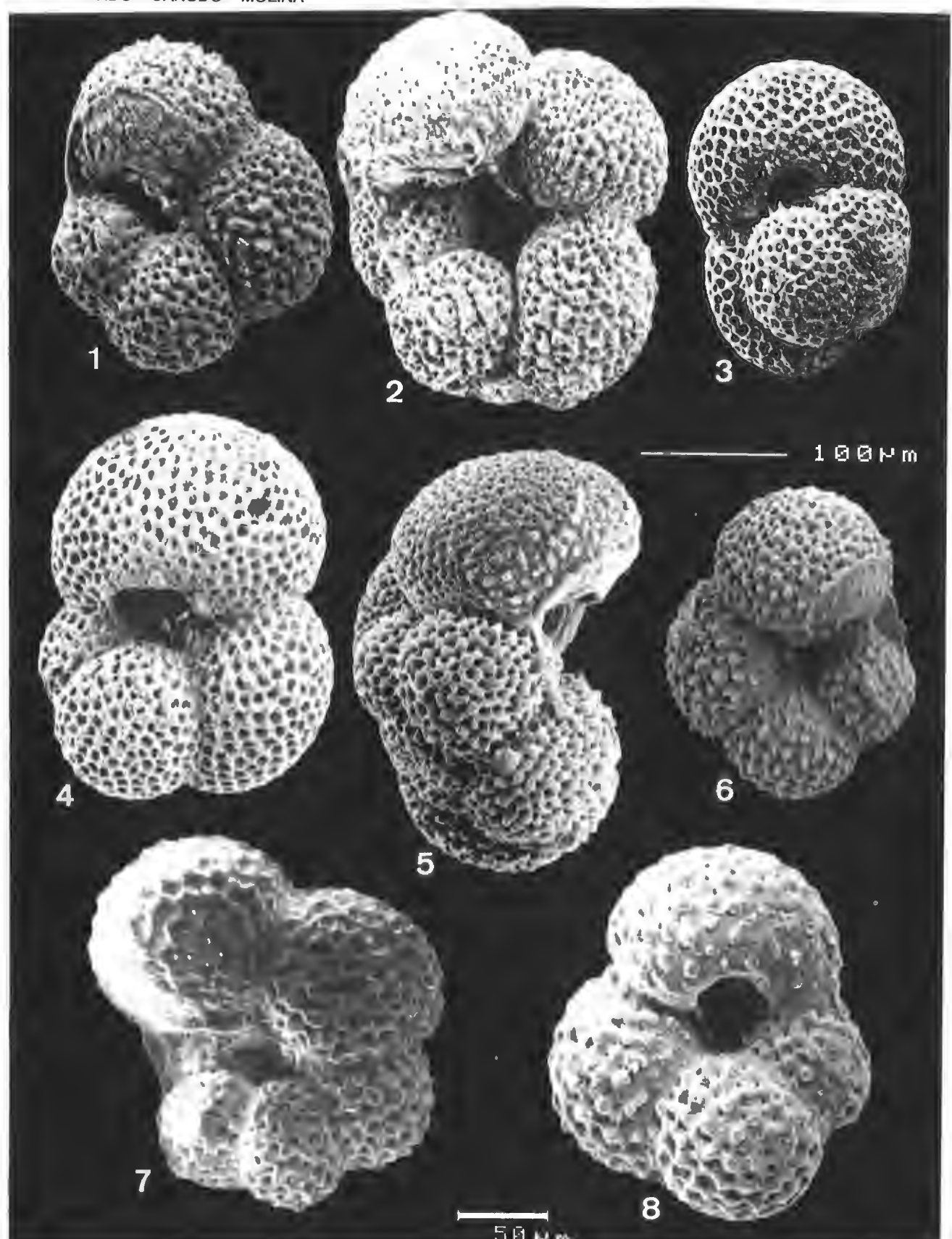
LÁMINA 1

Foraminíferos planctónicos representativos de la parte inferior del Ypresiense en el sondeo de Knokke. La escala en todos los ejemplares es de 100μm.

- 1, 2 y 3 Muricoglobigerina esnehensis (Nakkady). Muestra 222.
- 4 y 5 Subbotina eocaenica (Terquem). Muestra 222
- 6 y 7 *Muricoglobigerina chascanona* (Loeblich y Tappan). Muestra 220.
- 8 y 9 Muricoglobigerina aquiensis (Loeblich y Tappan). Muestra 222.



R.E.M REVISTA ESPAÑOLA DE MICROPALEONTOLOGIA VOL. XXVI, núm. 1, 1994



REVISTA ESPAÑOLA DE MICROPALEONTOLOGIA VOL. XXVI, núm. 1, 1994

VANDERBERGUE N., LAGA P., HERMAN J., BACCAERT JU.

1990 Lithological description of the Knokke well. Mem. Expl. Cartes Géologiques et Minières de la Belgica, No. 29, pp. 9-17.

WHITE C.

1928 Some index foraminifera of the Tampico Embayment area of Mexico. Part I. J. Paleont., vol. 2, No. 3, pp. 177-215

WILLEMS W.

1980 De foraminiferen van de leper Formatie (Onder-Eocenn) im het zuidelijk Noordzeebekkeev (biostratigraphic, paleoekologie, systematik). Tesis Univ. Gent. 1988 Iconography of the Ypresian Foraminifera of the Belgian Basin and description of new Benthic species. Bulletin de la Société belge de Géologie, vol. 97, No. 3/4, pp. 385-435.

WILLEMS W., BIGNOT G., MOORKENS TH.

1981 Ypresian. Bull. Inf. Géol. Bassin de Paris, Mém. 2, pp. 267-299.-

Manuscrito recibido el 15-IV-1993 Manuscrito aceptado el 27-IV-1993

LÁMINA 2

Foraminíferos planctónicos representativos de la parte inferior del Ypresiense en el sondeo de Knokke. La escala en todos los ejemplares es de $100\mu m$, excepto en el 7 y 8 que es de $50\mu m$.

1	Acarinina acarinata. (Subbotina) Muestra 222
2 y 5	Muricoglobigerina soldadoensis. (Brönniman) Muestra 222
3	Paragloborotalia quadrilocula. (Blow) Muestra 221
4	Subbotina triangularis. (White) Muestra 222
6	Acarinina acarinata. (Subbotina) Muestra 222
7	Acarinina cf. pentacamerata. (Subbotina) Muestra 221
8	Muricoglobigerina aquiensis. (Loeblich y Tappan) Muestra 221